

УДК 539.375

**ОПРЕДЕЛЕНИЕ ТРЕЩИНОСТОЙКОСТИ (K_{Ic})
ПРЕСНОВОДНОГО ЛЬДА**

ДАНИЛЕНКО В. И.

Изучение закономерностей разрушения льда связано с необходимостью определения характеристик трещиностойкости льда, важнейшей из которых является трещиностойкость по отношению к нормальному отрыву K_{Ic} [1]¹. В публикуемой работе для определения энергии разрушения и трещиностойкости (K_{Ic}) пресноводных монокристаллического (тип А1) и столбчатозернистого (тип А4) льдов используется модель разрушения анизотропной линейно-упругой среды с гексагональной симметрией строения [2]. Оценки в рамках модели удовлетворительно согласуются с полученными автором экспериментальными зависимостями трещиностойкости (K_{Ic}) льдов исследованных типов от температуры и ориентации начальной трещины. Определены границы области применимости модели.

1. Модель разрушения монокристаллического льда.

1. Основные предположения. Рассмотрим разрушение анизотропного линейно-упругого материала, которое начинается около трещинообразных дефектов, вызывающих критическую концентрацию напряжений на краю трещины. Условие разрушения в рамках энергетического подхода механики разрушения определим как достижение скоростью высвобождения энергии деформации сопротивления материала продвижению трещины. Для квазихрупкого материала основным компонентом в этом сопротивлении является энергия новых поверхностей, определяемая через работу межатомных сил сцепления в вершине трещины. Предположим, что радиус действия межатомных сил сцепления ограничен ближайшими атомами, т. е. поперечный и продольный размеры критического элемента разрушения имеют порядок расстояний между соответствующими кристаллографическими плоскостями. Тогда оказывается возможным получить аналитические выражения для параметров распространения трещин определенных ориентаций в гексагональной кристаллической структуре через модули упругой жесткости материала и поперечный размер критического элемента разрушения.

2. Математическое описание модели разрушения гексагональной структуры. Оценим условие распространения моделируемой разрезом плоской трещины в анизотропном линейно-упругом теле, размеры которого много больше характерного размера трещины $2a$. Введем связанную с трещиной систему координат x_i , в которой трещина задается координатами $|x_1| < a$, $x_2 = 0$, $|x_3| < \infty$ (фиг. 1); кристаллографическую систему координат, в которой плоскость трещины задается индексами Миллера (hkl), обозначим \bar{X}_i .

Предположим, что тело относительно оси x_2 нагружено симметрично. Обозначим относительное смещение берегов трещины через Δu_i . Пред-

¹ См. Гольдштейн Р. В., Осиенко Н. М. Механика разрушения ледяного покрова. — Препринт Ин-та проблем механики АН СССР. М., 1982, № 200. 72 с. Даниленко В. И. Экспериментальное исследование трещиностойкости (K_{Ic}) пресноводных и распресненных льдов различных структурных видов. М., 1984.— 26 с. Деп. в ВИНИТИ 29.04.84; № 2803—84.

ставим напряженное состояние тела в виде суперпозиции двух полей напряжений, одно из которых соответствует сплошному телу под действием заданных нагрузок, а второе — телу с разрезом под действием только приложенных на берегах разреза нагрузок — $\sigma_{i2}(x_i)$, равных по величине и противоположных напряжениям, возникающим на месте разреза в первой задаче. Тогда изменение энергии деформации тела вследствие образования трещины равно [3]:

$$W = -\frac{1}{2} \int_{-a}^a \sigma_{i2}(x_i) \cdot \Delta u_i \cdot dx_i \quad (1.1)$$

С учетом выражений для смещения берегов Δu_i из [4] изменение энергии W запишется в связанной с трещиной полярной системе координат (r, θ) с началом в центре трещины через усредненные напряжения на берегах разреза

$$T_i(r) = \frac{1}{\pi} \int_{-\pi/2}^{\pi/2} \sigma_{i2}(r \cdot \sin \theta) \cdot (1 + \sin \theta) \cdot d\theta \quad (1.2)$$

в виде

$$W = \frac{\pi}{2} B_{ij} \int_{-a}^a T_i(r) \cdot T_j(r) \cdot |r| \cdot dr \quad (1.3)$$

Фиг. 1

где B_{ij} — тензор упругой податливости, зависящий от модулей жесткости c_{ij} материала и ориентации трещины в кристаллографической системе координат X_i .

При однородном нагружении $T_i(r) = \sigma_{i2}$ и $W = -\frac{1}{2}\pi a^2 B_{ij} \sigma_{i2} \sigma_{j2}$. Отсюда скорость высвобождения энергии деформации

$$G = -\partial W / \partial a = \pi a B_{ij} \sigma_{i2} \sigma_{j2} \quad (1.4)$$

и условие квазихрупкого распространения трещины в предположении справедливости энергетического подхода механики разрушения в анизотропном случае имеет вид $G \geq 4\gamma$, где γ — поверхностная энергия в плоскости трещины. С учетом (1.4) условие квазихрупкого разрушения можно представить в виде

$$B_{ij} \sigma_{i2}^* \sigma_{j2}^* \geq 4\gamma / (\pi a_*) \quad (1.5)$$

где σ_{i2}^* — величины критических напряжений.

Полагая, что трещина распространяется в своей плоскости (hkl) , можно определить поверхностную энергию разрушения через соответствующую работу межатомных сил сцепления. В случае, когда радиус действия этих сил ограничен соседними атомами, т. е. продольный и поперечный размеры критического элемента разрушения равняются межатомным расстояниям соответственно в плоскости трещины и поперек этой плоскости, имеем согласно [5]

$$\gamma = (2/\pi)^2 c_{22} / d_{hkl} \quad (1.6)$$

где c_{22} — приведенный к плоскости трещины (hkl) модуль жесткости c_{22} , а d_{hkl} — межплоскостное расстояние.

Более сложным в общем случае представляется анализ тензора упругой податливости B_{ij} . Однако, когда среда в связанной с трещиной системе координат является ортотропной (или имеет более высокий порядок симметрии), $B_{ij} = 0$ при $i \neq j$ [6]. В случае, когда симметрия является тексагональной [7]:

$$\frac{1}{B_{22}} = (\lambda^2 c_{33} + c_{13}) \cdot \left[\frac{c_{44} \cdot (\lambda^2 c_{33} - c_{13})}{c_{11} \cdot (\lambda^2 c_{33} + c_{13} + 2c_{44})} \right]^{\frac{1}{2}} \quad (1.7)$$

$$1/B_{11} = \lambda^2/B_{22}, \quad 1/B_{33} = [1/2 \cdot (c_{11} - c_{12}) \cdot c_{44}]^{\frac{1}{2}}, \quad \lambda^2 = (c_{11}/c_{33})^{\frac{1}{2}}$$

Уравнения (1.6) и (1.7) определяют все параметры, которые входят в условие разрушения (1.5), кроме критической полудлины трещины a_* . Например, для разрушения вида I:

$$\sigma_{22}^* = [4\gamma / (\pi a_* B_{22})]^{\frac{1}{2}} \quad (1.8)$$

Формула (1.8) позволяет получить выражения σ_{22}^* для разрушения, происходящего, в частности, по характерным кристаллографическим плоскостям кристалла льда. Как известно [8], в структуре льда атомы кислорода сконцентрированы вблизи так называемых базисных плоскостей, перпендикулярных главной оси гексагональной решетки (*c*-оси). Кроме того, в самих базисных плоскостях можно выделить направления [1120], в которых параллельно вторичным осям решетки расположены плотноупакованные ряды атомов кислорода, а также промежуточные направления [1010].

Из (1.8) имеем для трещины в базисной плоскости $\sigma_{22}^* = [4\gamma^{(b)} / (\pi a_* B_{22})]^{\frac{1}{2}}$, для параллельной *c*-оси трещины в призматической (например, <1120> или <1010>) плоскости $\sigma_{22}^* = [4\gamma^{(p)} / (\pi a_* B_{11})]^{\frac{1}{2}}$ и для перпендикулярной *c*-оси трещины в призматической плоскости $\sigma_{22}^* = [4\gamma^{(p)} / (\pi a_* B_{33})]^{\frac{1}{2}}$, где $\gamma^{(b)}$ и $\gamma^{(p)}$ — поверхностные энергии в базисной и соответствующей призматической плоскостях.

Трещиностойкость K_{Ic} рассматриваемого тела определяется через модули податливости s_{ij} в виде [9]:

$$K_{Ic} = \left(\frac{2E\gamma}{1-\nu^2} \right)^{\frac{1}{2}}, \quad E = \frac{1}{s_{11}}, \quad \nu = -\frac{s_{12}}{s_{11}} \quad (1.9)$$

Таким образом, уравнения (1.8) и (1.9) позволяют определить критические напряжения и трещиностойкость (K_{Ic}) льда через модули жесткости и параметры кристаллической решетки материала.

2. Экспериментальное определение трещиностойкости (K_{Ic}) пресноводного льда.

1. Исследование типа льда. В качестве объекта исследования был выбран пресноводный лед типа А1, отличающийся крупными размерами монокристаллических блоков и вертикальным направлением *c*-осей, и типа А4, отличающийся волокнистой текстурой, характерным увеличением поперечных размеров кристаллов по толщине ледяного покрова и горизонтальной ориентацией *c*-осей [10]. Тип льда, ориентация и размеры кристаллов определялись при вращении шлифов льда в поляризованном свете. Размеры монокристаллических блоков льда типа А1 составляли не менее 10 см с угловой разориентацией соседних блоков не более 10°. В образцах льда типа А4 горизонтальный размер кристаллов изменялся по толщине ледяного покрова (около 8 см) от 1–2 мм в верхней части до 8–10 мм на нижней поверхности.

2. Методика определения трещиностойкости (K_{Ic}) льда. Использовалась модифицированная методика определения трещиностойкости (K_{Ic}) при внекентральном растяжении компактного прямоугольного образца с боковым надрезом сосредоточенными силами, приложенными к берегам надреза. Более подробно эта методика описана в [1].

Образцы вырезались из намороженных ледяных пластин одноручной или ленточной пилой; размеры (в см) их изменялись от 1,5×1,5×2,0 до 8×8×12. Упоры для нагружающих захватов глубиной и шириной около 0,5 см вырезались ленточной пилой.

Начальная краевая трещина имитировалась надрезом ленточной пилой.

с шириной полотна около 1 мм; вершина надреза формировалась скальпелем. Длина надреза составляла около половины ширины образца. В образцах льда типа А1 вершина надреза находилась в центральной части монокристаллического блока, так что по крайней мере в начале распространения трещина развивалась в монокристаллическом льду.

Исследовались образцы со следующими ориентациями начальных надрезов относительно выделенных направлений анизотропии: для льда типа А1 — в базисной плоскости, по направлению c -оси и с фронтом, параллельным c -оси; для льда типа А4 — вдоль и поперек удлиненных кристаллов льда.

Нагружение образцов производилось с помощью электропривода. Время до разрушения определялось по записанным в процессе испытания временным разверткам нагрузки. Скорость нагружения льда в вершине трещины K_{Ic} составляла от 0,1 до 1,0 с^{-1} .

Испытания проводились в холодном помещении и в холодильной камере при температурах от 0° С до -20° С.

3. *Вид разрушения.* Во всех испытаниях излом имел хрупкий характер. В образцах льда типа А1 во всем интервале температур и в образцах льда типа А4 при температурах ниже -4° С происходило транскристаллитное разрушение. Поверхность разрушения напоминала излом силикатного стекла.

Во всех испытаниях нагрузка практически линейно возрастала до момента разрушения и резко уменьшалась до нуля после разрушения.

Эти факты свидетельствуют о квазихрупком режиме разрушения льда при данных условиях испытаний, что позволяет использовать при анализе результатов методы линейной механики разрушения.

3. Параметры разрушения пресноводного льда (типы А1 и А4).

1. *Экспериментальные данные.* В зависимости от условий испытаний трещиностойкость (K_{Ic}) пресноводного льда типов А1 и А4 изменялась в пределах 180–440 $\text{kN/m}^{\frac{3}{2}}$ и 110–320 $\text{kN/m}^{\frac{3}{2}}$ соответственно, что согласуется с данными работы [1]. Среднеквадратичный разброс отдельных значений не превышал 30% средней величины.

В исследуемом диапазоне условий испытаний трещиностойкость льда слабо зависела от скорости деформирования.

Приведенные в табл. 1 экспериментальные данные свидетельствуют о слабой зависимости K_{Ic} монокристаллического льда от ориентации начального надреза (1 — надрез в базисной плоскости, 2 — фронт надреза совпадает с направлением c -оси, 3 — надрез параллелен c -оси).

Трещиностойкость монокристаллического льда возрастала при понижении температуры от 0 до -20° С (кривая 2 фиг. 2 соответствует усредненным по ориентациям начального надреза значениям K_{Ic} при данной температуре).

Экспериментальные значения K_{Ic} столбчатозернистого льда типа А4 приведены на фиг. 3 (кривые 2, 3 и 4 соответствуют результатам испытаний образцов со средним поперечным размером d зерна около 3, 5 и 8 мм). Видно, что температурная зависимость трещиностойкости льда типа А4 аналогична соответствующей зависимости K_{Ic} монокристаллического льда, но при температурах ниже -5° С выражена заметно слабее. Кроме того, K_{Ic} столбчатозернистого льда возрастает при увеличении среднего поперечного размера зерна.

2. *Оценка K_{Ic} в рамках модели.* Используя экспериментальные значения модулей упругой жесткости пресноводного монокристаллического льда при 0, -10 и -15° С [11] по формуле (1.6) с учетом температурных зависимостей параметров решетки льда при температурах от 0 до -180° С [12], получим приведенные в табл. 2 значения поверхностных энергий разрушения в базисной и призматических $\langle 11\bar{2}0 \rangle$ и $\langle 10\bar{1}0 \rangle$ плоскостях. Видно, что энергия межатомного сцепления соседних кристаллографических плоскостей льда даже вблизи точки плавления много больше

Таблица 1

Плоскость надреза	0° С	-10° С	-15° С
1	202±34	336±94	414±85
2	147±28	335±50	439±72
3	184±31	318±40	460±150
Среднее	180±40	330±90	440±150

Таблица 2

Плоскость трещины	0° С		-10° С		-15° С	
	γ	K_{Ic}	γ	K_{Ic}	γ	K_{Ic}
{0001}	3,9±0,4	220±20	4,8±0,5	290±30	5,0±0,5	330±30
{1120}	3,6±0,4	210±20	4,4±0,4	270±30	4,9±0,5	310±30
{1010}	3,1±0,3	200±20	3,8±0,4	260±30	4,2±0,4	290±30

не только энергии межзеренных границ (около 0,065 Дж/м² [13]), но и энергии границы раздела «воздух — лед» (около 0,105 Дж/м² [13]).

Вычисленные по формуле (1.9) с учетом погрешности определения c_{ij} [11] значения K_{Ic} монокристаллического льда приведены в табл. 2 и на фиг. 2, 3 (кривые 1). Сравнение их с экспериментальными данными показывает, что предлагаемая модель удовлетворительно описывает трещиностойкость монокристаллического льда и столбчатозернистого льда с $d \geq 5$ мм. В частности, в диапазоне температур от 0 до -15° С подтверждаются сделанные выше выводы относительно слабой зависимости K_{Ic} льда от ориентации начальной трещины и возрастания K_{Ic} с понижением температуры. С учетом слабого роста $|c_{ij}|$ при понижении температуры от 0 до -140° С [14] можно предположить, что эти выводы верны в более широком диапазоне температур. Однако правомерность подобных предположений нуждается в экспериментальном подтверждении.

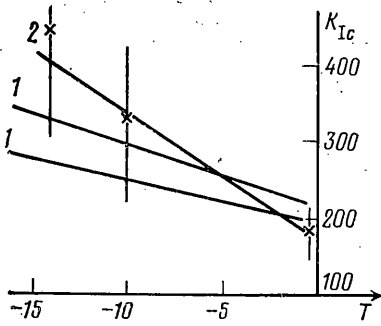
Вычисление в рамках модели предельного напряжения σ_{22}^* осложняется необходимостью определения характерного размера a_* , вызывающего разрушение трещиноподобного дефекта. Решая обратную задачу — определяя согласно формуле (1.8) a_* , например, для $\sigma^* \sim 1$ МПа, получим около 0,4 мм, что согласуется с размером включений в монокристаллическом льде [9].

4. Область применимости модели. Представленная выше модель соответствует квазихрупкому режиму разрушения. Для оценки области ее применимости рассмотрим растяжение поликристаллического агрегата с плоской трещиной, ограниченной размером d зерна. Критическое напряжение квазихрупкого распространения такой трещины вида I имеет вид $\sigma^* = K_{Ic} Y d^{-1/2}$, где Y — тарировочный множитель порядка единицы.

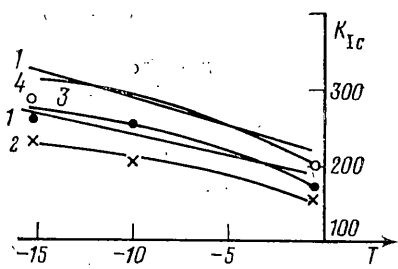
Поскольку напряжение текучести поликристаллического льда $\sigma_y = \sigma_i + k_y d^{-1/2}$, где σ_i и k_y — экспериментально определяемые величины (при -10° С и $\dot{\varepsilon} = 2,1 \cdot 10^{-5}$ с⁻¹, $\sigma_i = 0,8$ МПа и $k_y = 0,097$ МПа·м^{-1/2} [15]), то критерий перехода от пластического деформирования к хрупкому записывается в виде

$$K_{Ic} Y d^{-1/2} = \sigma_i + k_y d^{-1/2} \quad (4.1)$$

Если скорость неупругой деформации связать с напряжением σ_i выражением $\dot{\varepsilon} = A \sigma^n \exp[-W_a/(kT)]$, где A и n — постоянные, W_a — энергия



Фиг. 2



Фиг. 3

активации и k — постоянная Больцмана, то переходная скорость $\dot{\varepsilon}_*$ от неупругого разрушения к хрупкому запишется

$$\dot{\varepsilon}_* = A \left(\frac{K_{Ic} Y - k_T}{d^{1/2}} \right)^n \exp\left(-\frac{W_a}{kT}\right) \quad (4.2)$$

Используя значения A , n и W_a из [15], получим, что при температуре -10°C для $d=1$ мм имеем $\dot{\varepsilon}_* = 2 \cdot 10^{-4} \text{ с}^{-1}$, а для $d=10$ мм $\dot{\varepsilon}_* = 10^{-5} \text{ с}^{-1}$. Эти значения удовлетворительно согласуются с экспериментально полученной величиной $\dot{\varepsilon}_* \sim 10^{-4} \text{ с}^{-1}$ для растяжения образцов поликристаллического льда с $d \sim 0,7$ мм при -7°C [16], что подтверждает достоверность проводимых оценок.

ЛИТЕРАТУРА

1. Гольдштейн Р. В., Осипенко Н. М. Механика разрушения и некоторые вопросы разрушения льда.— В кн.: Механика и физика льда. М.: Наука, 1982, с. 65–94.
2. Yoo N. H. The elastic energy of slit cracks in hexagonal crystals.— Scripta Metallurgica, 1979, v. 13, No. 2, p. 131–136.
3. Билби Б., Эшелби Дж. Дислокации и теория разрушения.— В кн.: Разрушение. Т. 1. / Под ред. Г. Либовица. М.: Мир, 1973, с. 112–209.
4. Stroh A. N. Dislocations and cracks in anisotropic elasticity.— Philos. Mag., Eighth ser., 1958, v. 3, No. 30, p. 625–646.
5. Macmillan N. H., Kelly A. On the relationship between ideal tensile strength and surface energy.— Mater. Sci. Engng, 1972, v. 10, No. 3, p. 139–143.
6. Chou Y. T., Young H. C. The energy of a slit cracks in an orthotropic medium.— Scripta Metallurgica, 1974, v. 8, No. 1, p. 71–74.
7. Savin M. M., Chernov V. M., Strokska A. M. Energy factor of dislocation in hexagonal crystals.— Phys. Status Sol. (a), 1976, v. 35, No. 2, p. 747–754.
8. Уильс У. Ф., Ассур А. Разрушение озерного и морского льда.— В кн.: Разрушение. Т. 7. Ч. 1. / Под ред. Г. Либовица. М.: Мир, 1976, с. 513–623.
9. Парис П., Си Дж. Анализ напряженного состояния около трещин.— В кн.: Прикладные вопросы вязкости разрушения. М.: Мир, 1967, с. 64–142.
10. Черепанов Н. В. Классификация льдов природных водоемов.— В кн.: Строение и физико-механические свойства льда.— Тр. Арктического и Антарктического н.-и. ин-та, 1976, вып. 331, с. 77–99.
11. Богоявленский В. В. Упругие модули кристалла льда.— Акуст. ж., 1964, т. 10, вып. 2, с. 152–155.
12. Lonsdale D. K. The structure of ice.— Proc. Roy. Soc., A, 1958, v. 247, No. 1251, p. 424–434.
13. Ketcham W. M., Hobbs P. V. An experimental determination of the surface energies of ice.— Philos. Mag., 1969, v. 19, No. 162, p. 1161–1173.
14. Dantil G. Elastic moduli of ice.— In: Physics of ice. Proc. Internat. Symp. of Physics of Ice. N. Y.: Plenum Press, 1969, p. 223–230.
15. Muguruma J. Effects of surface condition on the mechanical properties of ice crystals.— Appl. Phys., 1969, v. 2, No. 2, p. 1517–1525.
16. Hawkes I., Mellor M. Deformation and fracture of ice under uniaxial stress.— J. Glac., 1972, v. 11, No. 61, p. 103–131.

Москва

Поступила в редакцию
15.XI.1984